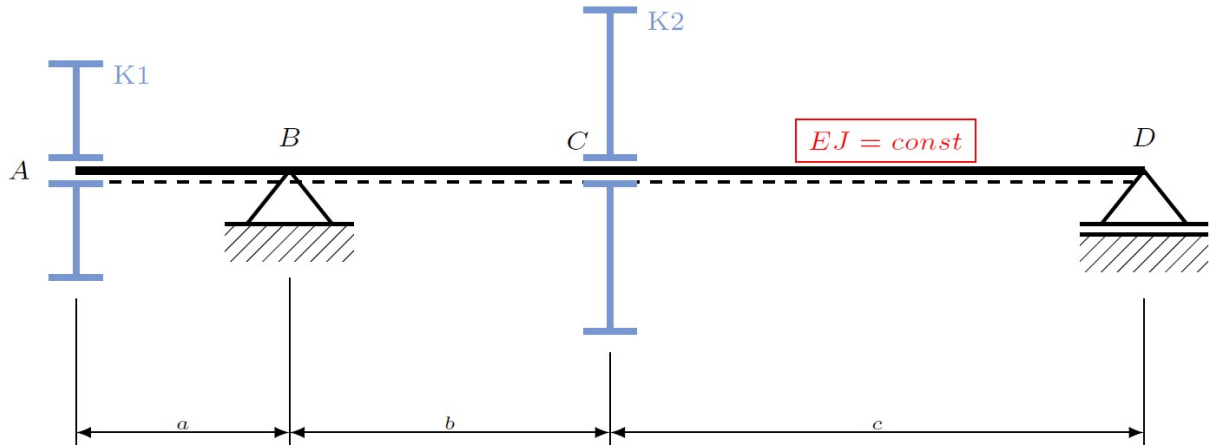
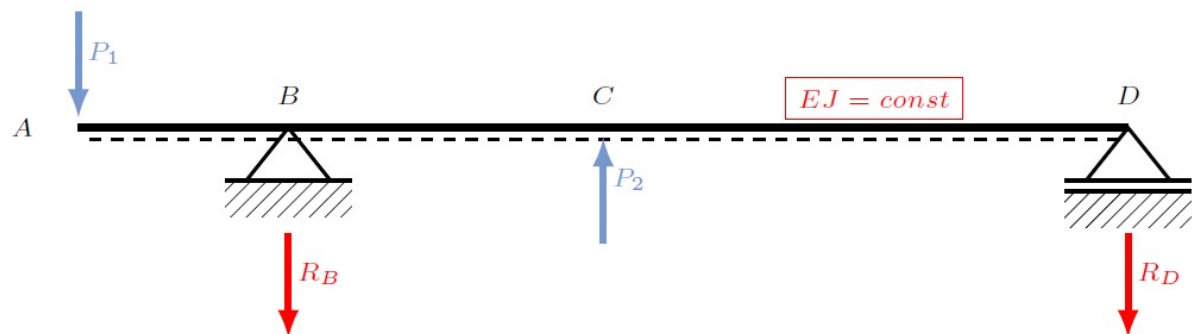


Obliczyć reakcje w łożyskach (Rys. 1) oraz średnicę gładkiej osi (belki) zginanej siłami $P_1 := 1000 \text{ N}$, $P_2 := 4000 \text{ N}$ przyłożonych do kół bosych K1 i K2. Dane wymiary: $a := 200 \text{ mm}$, $b := 300 \text{ mm}$, $c := 500 \text{ mm}$, $l := b + c$. Naprężenia dopuszczalne materiału osi (stal C35) wynoszą $k_{go} := 64 \text{ MPa}$, dopuszczalne strzałka ugięcia wynosi $f := 0.0005 \cdot l$, moduł Younga stali $E := 206 \text{ GPa}$.



Rys. 1 Szkic projektowanej belki

Korzystając z Rys. 2 zapisano w sposób jawny równania równowagi



Rys. 2 Schemat obliczeniowy belki

$$-P_1 \cdot (a + b + c) - R_B \cdot (b + c) + P_2 \cdot c = 0$$

$$-P_1 - R_B + P_2 - R_D = 0$$

Równania przekształcono do postaci macierzowej

$$\begin{bmatrix} -(b+c) & 0 \\ -1 & -1 \end{bmatrix} \cdot \begin{bmatrix} R_B \\ R_D \end{bmatrix} = \begin{bmatrix} P_1 \cdot (a+b+c) - P_2 \cdot c \\ P_1 - P_2 \end{bmatrix}$$

by wyznaczyć siły reakcji

$$\begin{bmatrix} R_B \\ R_D \end{bmatrix} := \begin{bmatrix} -(b+c) & 0 \\ -1 & -1 \end{bmatrix}^{-1} \cdot \begin{bmatrix} P_1 \cdot (a+b+c) - P_2 \cdot c \\ P_1 - P_2 \end{bmatrix} = \begin{bmatrix} 1.25 \\ 1.75 \end{bmatrix} \text{ kN}$$

Zakres zmian momentu gnącego przedstawiono w Tab. 1. Poszczególne momenty zapisano :

Tab. 1 Zestawienie przedziałów, wzorów i wartości granicznych momentu gnącego

Przedział	Wzór	Wartość
$x = 0$		0 Nm
$x \in (0, a)$	$-P_1 \cdot x$	
$x = a$		-200 Nm
$x \in (a, a + b)$	$-P_1 \cdot x - R_B \cdot (x - a)$	
$x = a + b$		-875 Nm
$x \in (a + b, a + b + c)$	$-P_1 \cdot x - R_B \cdot (x - a) + P_2 \cdot (x - a - b)$	
$x = a + b + c$		0 Nm

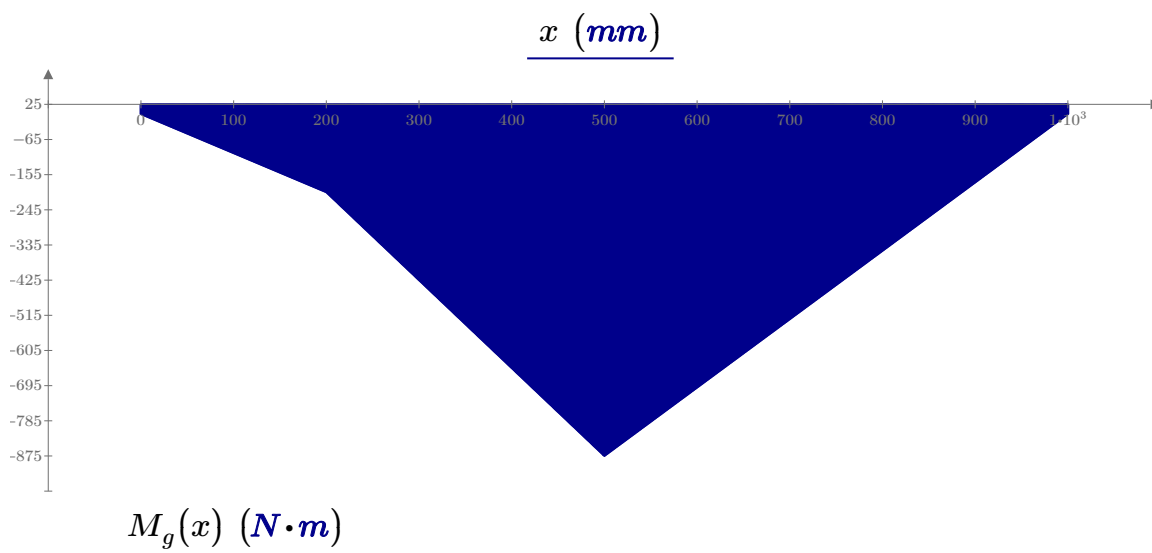
$$M_{g1}(x) := (0 \leq x < a) \cdot (-P_1 \cdot x)$$

$$M_{g2}(x) := (a \leq x < a + b) \cdot (-P_1 \cdot x - R_B \cdot (x - a))$$

$$M_{g3}(x) := (a + b \leq x < a + b + c) \cdot (-P_1 \cdot x - R_B \cdot (x - a) + P_2 \cdot (x - a - b))$$

$$M_g(x) := M_{g1}(x) + M_{g2}(x) + M_{g3}(x)$$

Do sporządzenia przebiegu zmiany wykresu gnącego (Rys. 3) skorzystano z $L := a + b + c$. Wykres sporządzono dla $x := 0, 0.001 \cdot L \dots L$

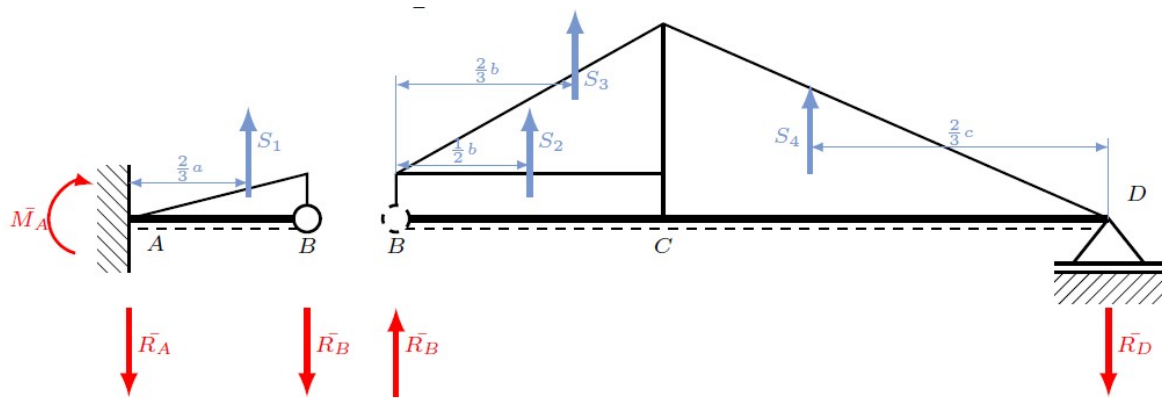


Rys. 3 Wykres momentu gnącego

Największa wartość momentu (Rys. 3) występuje dla $x_{min} := \text{minimize}(M_g, a)$ i wynosi $M_{gmax} := |M_g(x_{min})| = 875 \text{ N·m}$. Na tej podstawie można wyznaczyć średnicę osi wynoszącą:

$$d_{W1} := \sqrt[3]{\frac{32 \cdot M_{gmax}}{\pi \cdot k_{go}}} = 51.8 \text{ mm}$$

Maksymalną strzałkę ugięcia wyznaczono metodą analityczno-wykreslną. W pierwszym kroku dokonano zamiany belki na fikcyjną oraz zdysketyzowano obciążenie (Rys. 4).



Rys.4 Schemat rozwiązania belki fikcyjnej

Obciążenie rozłożone zostało zamienione na siły skupione działające w środkach ciężkości

$$\begin{bmatrix} S_1 \\ S_2 \\ S_3 \\ S_4 \end{bmatrix} := \begin{bmatrix} \left| \frac{1}{2} \cdot M_g(a) \cdot a \right| \\ \left| M_g(a) \cdot b \right| \\ \left| \frac{1}{2} \cdot (M_g(a+b) - M_g(a)) \cdot b \right| \\ \left| \frac{1}{2} \cdot M_g(a+b) \cdot c \right| \end{bmatrix} = \begin{bmatrix} 20 \\ 60 \\ 101.25 \\ 218.75 \end{bmatrix} \text{ N} \cdot \text{m}^2$$

Korzystając z Rys. 4 zapisano równania równowagi układu belki fikcyjnej:

$$\begin{aligned} R_{BF} \cdot (b+c) - S_2 \cdot \left(\frac{1}{2} \cdot b + c \right) - S_3 \cdot \left(\frac{1}{3} \cdot b + c \right) - S_4 \cdot \frac{2}{3} \cdot c &= 0 \\ -R_{BF} + S_2 + S_3 + S_4 - R_{DF} &= 0 \\ -R_{AF} + S_1 + R_{BF} &= 0 \\ M_{AF} - R_{BF} \cdot a - S_1 \cdot \frac{2}{3} \cdot a &= 0 \end{aligned}$$

Przekształcając powyższe równania do postaci macierzonej

$$\begin{bmatrix} (b+c) & 0 & 0 & 0 \\ -1 & -1 & 0 & 0 \\ 1 & 0 & -1 & 0 \\ -a & 0 & 0 & 1 \end{bmatrix} \cdot \begin{bmatrix} R_{BF} \\ R_{DF} \\ R_{AF} \\ M_{AF} \end{bmatrix} = \begin{bmatrix} S_2 \cdot \left(\frac{1}{2} \cdot b + c \right) + S_3 \cdot \left(\frac{1}{3} \cdot b + c \right) + S_4 \cdot \frac{2}{3} \cdot c \\ -S_2 - S_3 - S_4 \\ -S_1 \\ S_1 \cdot \frac{2}{3} \cdot a \end{bmatrix}$$

stąd (aby zachować zgodność jednostek w obliczeniach podzielono przez 1 mm a następnie wynik $M_{AF'}$ pomnożono przez 1 mm):

$$\begin{bmatrix} R_{BF} \\ R_{DF} \\ R_{AF} \\ M_{AF'} \end{bmatrix} := \begin{bmatrix} \frac{(b+c)}{mm} & 0 & 0 & 0 \\ -1 & -1 & 0 & 0 \\ 1 & 0 & -1 & 0 \\ -a & 0 & 0 & 1 \\ mm & & & \end{bmatrix}^{-1} \cdot \begin{bmatrix} S_2 \cdot \left(\frac{1}{2} \cdot b + c \right) + S_3 \cdot \left(\frac{1}{3} \cdot b + c \right) + S_4 \cdot \frac{2}{3} \cdot c \\ mm \\ -S_2 - S_3 - S_4 \\ -S_1 \\ S_1 \cdot \frac{2}{3} \cdot a \\ mm \end{bmatrix} = \begin{bmatrix} 215.833 \\ 164.167 \\ 235.833 \\ 4.583 \cdot 10^4 \end{bmatrix} N \cdot m^2$$

$$M_{AF} := M_{AF'} \cdot 1 \text{ mm} = 45.833 \text{ N} \cdot m^3$$

Momenty gnące belki fikcyjnej zapisano w formie tabeli (Tab. 2):

Tab. 2 Zestawienie przedziałów, wzorów i wartości granicznych momentu gnącego belki fikcyjnej

Przedział	Wzór	Wartość
$x = 0$		$45,83 \text{ Nm}^3$
$x \in (0, \frac{2}{3} \cdot a)$	$M_A - R_A \cdot x$	
$x = \frac{2}{3} \cdot a$		$14,39 \text{ Nm}$
$x \in (\frac{2}{3} \cdot a, a)$	$M_A - R_A \cdot x + S_1 \cdot (x - \frac{2}{3} \cdot a)$	
$x = a$		0 Nm^3
$x \in (a, a + \frac{1}{2} \cdot b)$	$-R_B \cdot (x - a)$	
$x = a + \frac{1}{2} \cdot b$		$-32,375 \text{ Nm}^3$
$x \in (a + \frac{1}{2} \cdot b, a + \frac{2}{3} \cdot b)$	$-R_B \cdot (x - a) + S_2 \cdot (x - a - \frac{1}{2} \cdot b)$	
$x = a + \frac{2}{3} \cdot b$		$-40,17 \text{ Nm}^3$
$x \in (a + \frac{2}{3} \cdot b, a + b + \frac{1}{3} \cdot c)$	$-R_B \cdot (x - a) + S_2 \cdot (x - a - \frac{1}{2} \cdot b) + S_3 \cdot (x - a - \frac{2}{3} \cdot b)$	
$x = a + b + \frac{1}{3} \cdot c$		$-54,72 \text{ Nm}^3$
$x \in (a + b + \frac{1}{3} \cdot c, a + b + c)$	$-R_B \cdot (x - a) + S_2 \cdot (x - a - \frac{1}{2} \cdot b) + S_3 \cdot (x - a - \frac{2}{3} \cdot b) + S_4 \cdot (x - a - b - \frac{1}{3} \cdot c)$	
$x = a + b + c$		0 Nm^3

a następnie zapisano w postaci:

$$M_{gF1}(x) := \left(0 \leq x < \frac{2}{3} \cdot a \right) \cdot (M_{AF} - R_{AF} \cdot x)$$

$$M_{gF2}(x) := \left(\frac{2}{3} \cdot a \leq x < a \right) \cdot \left(M_{AF} - R_{AF} \cdot x + S_1 \cdot \left(x - \frac{2}{3} \cdot a \right) \right)$$

$$M_{gF3}(x) := \left(a \leq x < a + \frac{1}{2} \cdot b \right) \cdot (-R_{BF} \cdot (x - a))$$

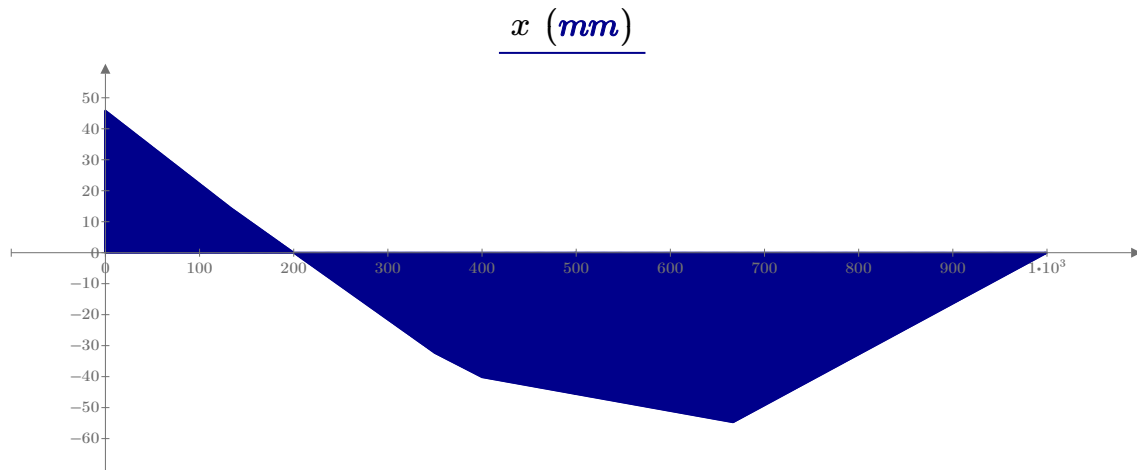
$$M_{gF4}(x) := \left(a + \frac{1}{2} \cdot b \leq x < a + \frac{2}{3} \cdot b \right) \cdot \left(-R_{BF} \cdot (x - a) + S_2 \cdot \left(x - a - \frac{1}{2} \cdot b \right) \right)$$

$$M_{gF5}(x) := \left(a + \frac{2}{3} \cdot b \leq x < a + b + \frac{1}{3} \cdot c \right) \cdot \left(-R_{BF} \cdot (x - a) + S_2 \cdot \left(x - a - \frac{1}{2} \cdot b \right) + S_3 \cdot \left(x - a - \frac{2}{3} \cdot b \right) \right)$$

$$M_{gF6}(x) := \left(a + b + \frac{1}{3} \cdot c \leq x < a + b + c \right) \cdot \left(-R_{BF} \cdot (x - a) + S_2 \cdot \left(x - a - \frac{1}{2} \cdot b \right) + S_3 \cdot \left(x - a - \frac{2}{3} \cdot b \right) + S_4 \cdot \left(x - a - b - \frac{1}{3} \cdot c \right) \right)$$

$$M_{gF}(x) := M_{gF1}(x) + M_{gF2}(x) + M_{gF3}(x) + M_{gF4}(x) + M_{gF5}(x) + M_{gF6}(x)$$

Pozwoliło to sporządzić wykres momentu gnącego belki fikcyjnej (Rys. 5).



$$M_{gF}(x) \text{ (N} \cdot \text{m}^3 \text{)}$$

Rys. 5 Wykres momentu gnącego belki fikcyjnej

Największa wartość momentu występuje dla $x_{Fmin} := \text{minimize } (M_{gF}, L)$ i wynosi $M_{gFmax} := |M_{gF}(x_{Fmin})| = 54.72 \text{ N} \cdot \text{m}^3$. Na tej podstawie można wyznaczyć średnicę osi wynoszącą

$$d_{W2} := \sqrt[4]{\frac{64 \cdot M_{gFmax}}{E \cdot \pi \cdot f}} = 60.6 \text{ mm}$$

Na podstawie wyznaczonych średnic z warunku wytrzymałości doraźnej $d_{W1} = 51.8 \text{ mm}$ oraz warunku ugięcia $d_{W2} = 60.6 \text{ mm}$ wybrano minimalną średnicę wałka równą D .

$$d := \max(d_{W1}, d_{W2}) = 60.648 \text{ mm}$$

$$D := \left(\text{floor} \left(\frac{d}{\text{mm}} \right) + 2 \right) \text{ mm} = 62 \text{ mm}$$